

COMUNE DI MONTALTO UFFUGO

(PROVINCIA DI COSENZA)

PROGETTO: DEFINITIVO - ESECUTIVO

**AMPLIAMENTO SCUOLA DELL'INFANZIA SITA IN
VIA A. MANZONI FRAZIONE TAVERNA**

CLASSE D'USO III

TAV. N°. 26

COMMITTENTE: COMUNE DI MONTALTO UFFUGO

ELABORATI:

RELAZIONE DI SINTESI

**IL PROGETTISTA E D.L.
ARCH. MARCELLO D'AMICO**

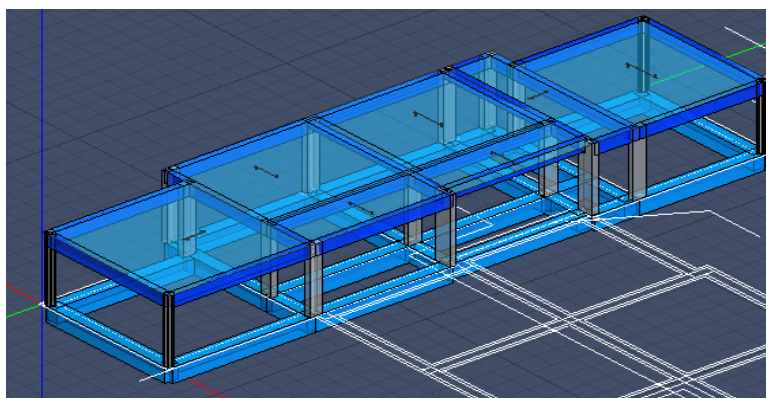
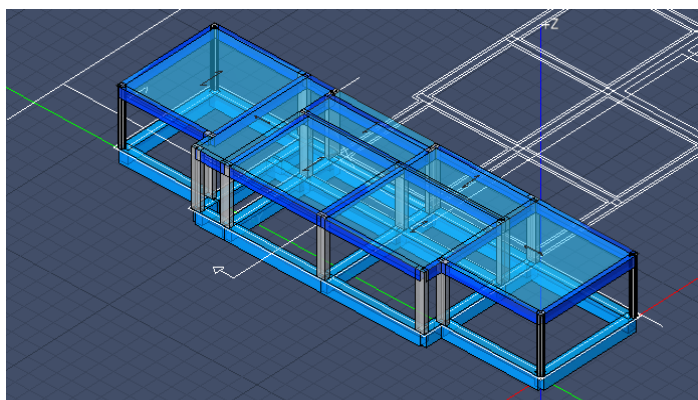
INDICE:

- **DESCRIZIONE GENERALE DELL'OPERA**
- **NORMATIVA DI RIFERIMENTO**
- **VITA NOMINALE, CLASSI D'USO E PERIODO DI RIFERIMENTO**
- **MATERIALI IMPIEGATI E RESISTENZE DI CALCOLO**
- **TERRENO DI FONDAZIONE**
- **ANALISI DEI CARICHI**
- **VALUTAZIONE DELL'AZIONE SISMICA**
- **ELEMENTI DI FONDAZIONE.**
- **METODO DI ANALISI E CRITERI DI VERIFICA.**
- **AZIONI SULLA STRUTTURA**
- **CODICE DI CALCOLO IMPIEGATO**
- **VERIFICA DEGLI ELEMENTI STRUTTURALI**
- **TABULATI DI CALCOLO**

DESCRIZIONE GENERALE DELL'OPERA

La struttura oggetto del presente calcolo riguarda la realizzazione di un fabbricato in C.A. in ampliamento ad un edificio esistente e destinato a scuola dell'infanzia, ubicato alla Fraz. Taverna del comune di Montalto Uffugo prov. di Cosenza, in Via Alessandro Manzoni. La struttura, che in pianta ha una forma pressoché rettangolare, è composta da un solo piano terra ed ha dimensioni circa 28.80 m x 8.45 m ed una altezza totale strutturale 3.45 m, il piano delle fondazioni si trova a circa 1.0 m al di sotto del piano campagna attuale.

Vengono riportate di seguito due viste allo scopo di consentire una migliore comprensione della struttura oggetto della presente relazione:



NORMATIVA DI RIFERIMENTO

Nel seguente elenco sono riportate le norme di riferimento secondo le quali sono state condotte le fasi di calcolo e verifica degli elementi strutturali:

Legge 5 novembre 1971 n. 1086 (G. U. 21 dicembre 1971 n. 321)

"Norme per la disciplina delle opere di conglomerato cementizio armato, normale e precompresso ed a struttura metallica"

Legge 2 febbraio 1974 n. 64 (G. U. 21 marzo 1974 n. 76)

"Provvedimenti per le costruzioni con particolari prescrizioni per le zone sismiche"

Legge regionale

titolo_legge_regionale

D.M. 17.01.2018 (Aggiornamento "Norme tecniche per le costruzioni")

Nel seguito denominate NT (norme tecniche)

Il calcolo delle sollecitazioni e la loro combinazione è stato eseguito seguendo le indicazioni delle NT secondo l'APPROCCIO 2

VITA NOMINALE, CLASSI D'USO E PERIODO DI RIFERIMENTO

La costruzione in oggetto è definita dalla seguente tipologia (p.to 2.4 delle NT):

Vita della struttura	
Tipo	Opere ordinarie (50-100)
Vita nominale(anni)	50.0
Classe d'uso	III
Coefficiente d'uso	1.500
Periodo di riferimento(anni)	75.000
Stato limite di esercizio - SLD	PVR=63.0%
Stato limite ultimo - SLV	PVR=10.0%
Periodo di ritorno SLD(anni)	TR=75.4
Periodo di ritorno SLV(anni)	TR=711.8

Per maggiori dettagli riguardo l'azione sismica si veda la definizione degli spettri di risposta

MATERIALI IMPIEGATI E RESISTENZE DI CALCOLO

Per la realizzazione dell'opera in oggetto saranno impiegati i seguenti materiali, di cui si riportano nell'ordine le proprietà meccaniche adottate nel calcolo elastico e le resistenze di calcolo per le verifiche di sicurezza:

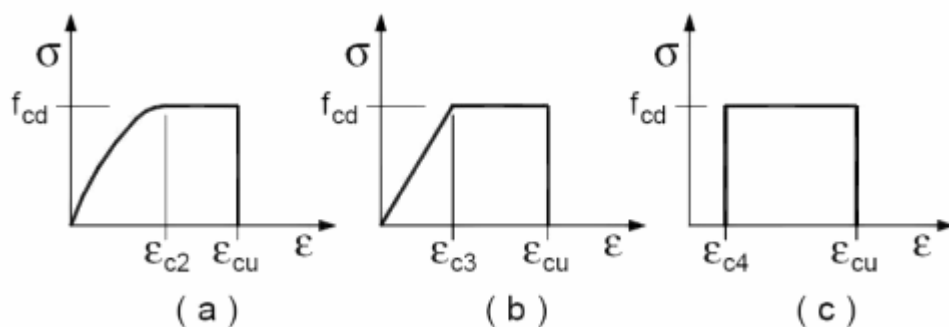
Materiali

Materiale: C25/30		
Peso specifico	kg/mc	2500
Modulo di Young E	kg/cm ²	3E05
Modulo di Poisson v		0.13
Coefficiente di dilatazione termica λ	1/°C	1e-05

Parti in calcestruzzo armato		
Classe calcestruzzo		Cl _s C32/40
Resistenza cubica R _{ck}	kg/cm ²	400
Resistenza di calcolo f _{cd}	kg/cm ²	188
Resistenza a trazione di calcolo f _{ctd}	kg/cm ²	14
Resistenza cilindrica f _{ck}	kg/cm ²	332
Resistenza a trazione media f _{ctm}	kg/cm ²	31
Classe acciaio		Acciaio B450C
Resistenza allo snervamento f _{yk}	kg/cm ²	≥4500
Resistenza alla rottura f _{tk}	kg/cm ²	≥5400
Classe calcestruzzo		Cl _s C25/30
Resistenza cubica R _{ck}	kg/cm ²	300
Resistenza di calcolo f _{cd}	kg/cm ²	141

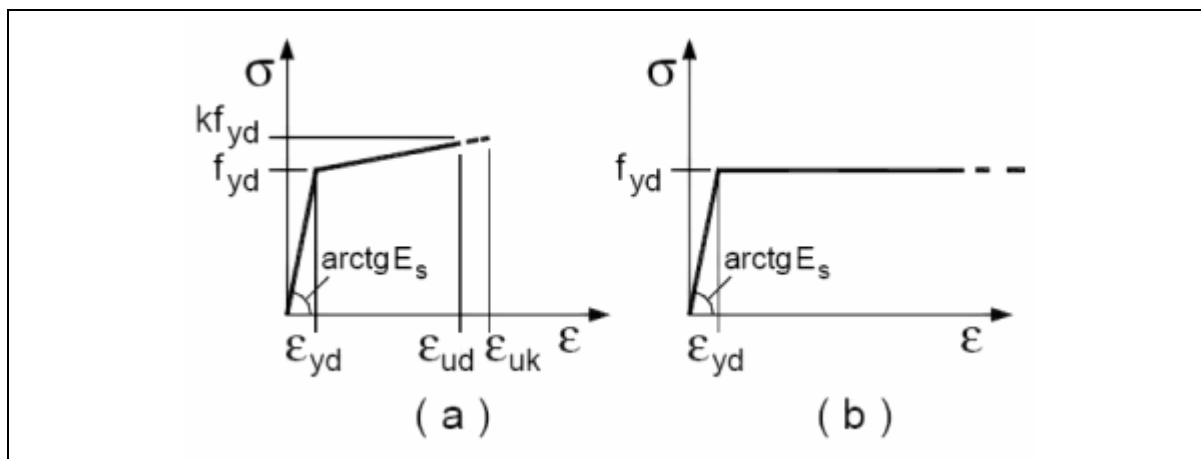
Resistenza a trazione di calcolo f_{ctd}	kg/cmq	12
Resistenza cilindrica f_{ck}	kg/cmq	249
Resistenza a trazione media f_{ctm}	kg/cmq	26
Classe acciaio		Acciaio B450C
Resistenza allo snervamento f_{yk}	kg/cmq	≥ 4500
Resistenza alla rottura f_{tk}	kg/cmq	≥ 5400

I diagrammi costitutivi del calcestruzzo e dell'acciaio per calcestruzzo sono stati adottati in conformità alle indicazioni riportate al punto 4.1.2.1.2.2 delle NT; in particolare per le verifiche delle sezioni in calcestruzzo armato è stato adottato il modello di calcestruzzo riportato in (a) della figura seguente



Diagrammi di calcolo tensione/deformazione del calcestruzzo.

ed il modello di acciaio riportato in a) o b) della figura seguente



Diagrammi di calcolo tensione/deformazione dell'acciaio per calcestruzzo.

La resistenza di calcolo è data da f_{yk} / γ_f . Il coefficiente di sicurezza è γ_f .

Tutti i materiali impiegati dovranno essere comunque verificati con opportune prove di laboratorio secondo le prescrizioni della vigente Normativa. Riguardo ai coefficienti di sicurezza parziali, alle deformazioni del calcestruzzo e dell'acciaio per modello incrudente si faccia riferimento ai criteri di verifica nella sezione "Verifica Elementi Strutturali"

TERRENO DI FONDAZIONE

Le fondazioni del fabbricato in oggetto sono costituite da {descrizione fondazioni} Dalla Relazione Geologica redatta dal geologo {geologo} risulta che nell'area in oggetto, si ha un terreno di tipo tipo_terreno con la seguente stratigrafia:

Strato n°		1
Spessore	cm	70
Peso spec.	kg/mc	1890
Peso spec. Sat.	kg/mc	1950
Angolo attrito	°	33
Addensato		No
OCR		--
coesione	kg/cm ²	0.00
cu	kg/cm ²	0.00
Modulo edometrico	kg/cm ²	1E02
Coeff. Poisson		0.3
Descrizione		Strato 1

Per la determinazione del carico limite del complesso terreno-fondazione, pertanto, si sono assunti i parametri fisico-meccanici precedentemente indicati. Per maggiori dettagli riguardo i parametri che caratterizzano il terreno si rimanda alla relazione geologica e a quella geotecnica.

ANALISI DEI CARICHI

La valutazione dei carichi e dei sovraccarichi è stata effettuata in accordo con le disposizioni contenute nel **D.M. 17.01.2018 (Aggiornamento "Norme tecniche per le costruzioni")**

I carichi adottati sono i seguenti:

I carichi relativi ai pesi propri vengono valutati in automatico in funzione della geometria degli elementi ed al loro peso specifico i tamponamenti vengono valutati per metro lineare di trave su cui insistono maggiori dettagli ad essi relativi sono riportati nel tabulato di calcolo alla sezione dei carichi relativi alle aste, nodi ed shell.

VALUTAZIONE DELL'AZIONE SISMICA

L'azione sismica è stata valutata in conformità alle indicazioni riportate al capitolo 3.2 delle NT

La valutazione degli spettri di risposta per un dato Stato Limite avviene attraverso le seguenti fasi:

- definizione della Vita Nominale e della Classe d'Uso della struttura, in base ai quali si determina il Periodo di Riferimento dell'azione sismica.
- Determinazione attraverso latitudine e longitudine dei parametri sismici di base a_g , F_0 e T_c^* per lo Stato Limite di interesse; l'individuazione è stata effettuata interpolando tra i 4 punti più vicini al punto di riferimento dell'edificio secondo quanto disposto dall'allegato alle NTC "Pericolosità Sismica", dove:

a_g accelerazione orizzontale massima al sito;

F_0 valore massimo del fattore di amplificazione dello spettro in accelerazione orizzontale.

T_c^* periodo di inizio del tratto a velocità costante dello spettro in accelerazione orizzontale

- Determinazione dei coefficienti di amplificazione stratigrafica e topografica.
- Calcolo del periodo T_c corrispondente all'inizio del tratto a velocità costante dello Spettro.

I dati così calcolati sono stati utilizzati per determinare gli Spettri di Progetto nelle verifiche agli Stati Limite considerati, per ogni direzione dell'azione sismica.

Oltre alla determinazione dei parametri sismici del sito si è considerata la tipologia di terreno, la posizione topografica e la tipologia strutturale (classe di duttilità, regolarità, ecc..) che ha condotto alla determinazione dei seguenti spettri di risposta:

Spettri di risposta

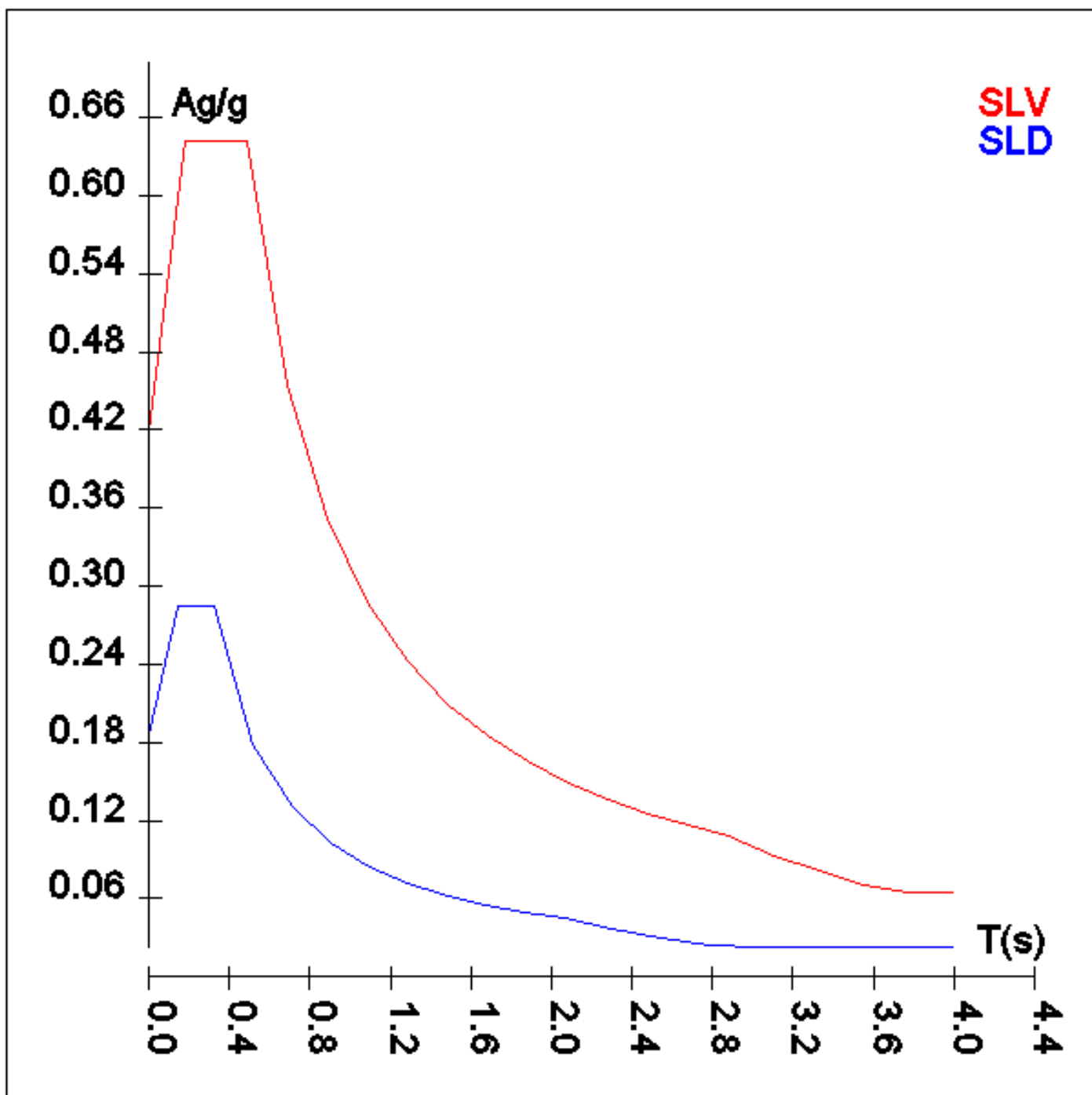
Spettro :Spettro N.T. 2018

Il calcolo degli spettri e del fattore di comportamento sono stati calcolati per la seguente tipologia di terreno e struttura

Vita della struttura	
Tipo	Opere ordinarie (50-100)
Vita nominale(anni)	50.0
Classe d'uso	III
Coefficiente d'uso	1.500
Periodo di riferimento(anni)	75.000
Stato limite di esercizio - SLD	PVR=63.0%
Stato limite ultimo - SLV	PVR=10.0%
Periodo di ritorno SLD(anni)	TR=75.4
Periodo di ritorno SLV(anni)	TR=711.8
Parametri del sito	
Comune	Montalto Uffugo - (CS)
Longitudine	16.2311
Latitudine	39.4322
Id reticolo del sito	39448-39226-39225-39447
Valori di riferimento del sito	
A_g/g (TR=75.4) SLD	0.1152
F_0 (TR=75.4) SLD	2.2985
T^*C (TR=75.4) SLD	0.321
A_g/g (TR=711.8) SLV	0.3199
F_0 (TR=711.8) SLV	2.4531
T^*C (TR=711.8) SLV	0.386
Coefficiente Amplificazione Topografica	St=1.000
Categoria terreno B	
stato limite SLV	
	Ss=1.31
	TB=0.18
	TC=0.48
	TD=2.88
stato limite SLD	
	Ss=1.61
	TB=0.14
	TC=0.33
	TD=2.06
Fattore di comportamento (SLV)	
Classe duttilità	B
Tipo struttura	Cemento armato
Struttura non regolare in altezza	Kr=0.800000
	Kw=1.000

Regolare in pianta	NO (cfr.NTC7.3.1)
Tipologia : struttura deformabile torsionalmente	Ce=2.000
Fattore di comportamento $q=K_w \cdot K_r \cdot C_e$	1.600
Fattore di comportamento q SLD	1.500

TSLV [s]	SLV[a/g]	TSLD [s]	SLD[a/g]
0.00000	0.41874	0.00000	0.18535
0.18100	0.64202	0.14200	0.28402
0.48400	0.64202	0.32600	0.28402
0.68367	0.45451	0.51867	0.17851
0.88333	0.35178	0.71133	0.13016
1.08300	0.28692	0.90400	0.10242
1.28267	0.24226	1.09667	0.08443
1.48233	0.20963	1.28933	0.07181
1.68200	0.18474	1.48200	0.06248
1.88167	0.16514	1.67467	0.05529
2.08133	0.14930	1.86733	0.04958
2.28100	0.13623	2.06000	0.04495
2.48067	0.12526	2.30250	0.03598
2.68033	0.11593	2.54500	0.02945
2.88000	0.10789	2.78750	0.02455
3.10400	0.09288	3.03000	0.02304
3.32800	0.08080	3.27250	0.02304
3.55200	0.07093	3.51500	0.02304
3.77600	0.06398	3.75750	0.02304
4.00000	0.06398	4.00000	0.02304



ELEMENTI DI FONDAZIONE.

Il calcolo della struttura di fondazione è condotto considerando le azioni che la struttura sovrastante le trasmette amplificate per un γ_{Rd} pari a 1,1 in CD "B" e 1,3 in CD "A", e comunque non maggiori di quelle derivanti da una analisi elastica della struttura in elevazione eseguita con un fattore di comportamento $q=1$ e non maggiori delle resistenze degli elementi sovrastanti la fondazione. Le precedenti limitazioni comprendo anche il caso di struttura calcolata con spettro elastico o con $q=1$.

METODO DI ANALISI E CRITERI DI VERIFICA.

Il calcolo delle azioni sismiche è stato eseguito in analisi dinamica modale, considerando il comportamento della struttura in regime elastico lineare. Le masse sono applicate nei nodi del modello queste vengono generate attraverso i carichi agenti sulle membrature che collegano i nodi come la massa relativa alla azione di incastro perfetto del carico considerato. La risposta massima di una generica caratteristica E, conseguente alla sovrapposizione dei modi, è valutata con la tecnica della combinazione probabilistica definita CQC (Complete Quadratic Combination - Combinazione Quadratica Completa):

$$E = \sqrt{\sum_{i,j=1,n} \rho_{ij} \cdot E_i \cdot E_j}$$

con:

$$\rho_{ij} = \frac{8\xi^2 \cdot (1 + \beta_{ij}) \cdot \beta_{ij}^{\frac{3}{2}}}{(1 - \beta_{ij}^2)^2 + 4\xi^2 \cdot \beta_{ij} \cdot (1 + \beta_{ij}^2)} \quad \beta_{ij} = \frac{\omega_i}{\omega_j}$$

dove:

- n è il numero di modi di vibrazione considerati
- ξ è il coefficiente di smorzamento viscoso equivalente espresso in percentuale;
- β_{ij} è il rapporto tra le frequenze di ciascuna coppia i-j di modi di vibrazione.

Le sollecitazioni derivanti da tali azioni sono state calcolate per varie posizioni dei baricentri delle masse e composte secondo combinazioni di posizioni prestabilite, come riportato in seguito, il risultato di tali combinazioni sono state composte poi con quelle derivanti da carichi non sismici secondo le varie combinazioni di carico probabilistiche. Per tener conto della eccentricità accidentale delle masse si sono considerate varie posizioni delle masse ad ogni impalcato modificando la posizione del baricentro di una distanza, rispetto alla posizione originaria, come percentuale della dimensione della struttura nella direzione considerata. Le azioni risultanti dai calcoli per le varie posizioni delle masse, in fase di verifica vengono combinati al fine di ottenere le azioni piu' sfavorevoli; di seguito vengono riportate sia le posizioni che le combinazioni delle masse, le due tabelle vanno lette nel seguente modo:

la prima indica la percentuale delle dimensione della struttura secondo cui viene spostato il baricentro ad ogni impalcato la percentuale è assegnata nelle due direzioni ortogonali secondo cui agisce il sisma, per ognuna di tali posizioni è eseguito un calcolo modale della struttura; la seconda tabella è usata in fase di verifica per la valutazione dell'azione sismica nel seguente modo l'effetto del sisma in una direzione è combinato con quello ortogonale di un'altra posizione con i fattori specificati nelle due colonne:

Percentuali Spostamento masse impalcati

Posizione	% Spostamento direzione X	% Spostamento direzione Y
1	0	-5
2	5	0
3	0	5
4	-5	0

Combinazioni del Sisma in X e Y e Verticale

Comb	Pos. SismaX	Pos. SismaY	Fx	Fy	Fz
1	1	2	1	0.3	0.3
2	1	2	0.3	1	0.3
3	1	2	0.3	0.3	1
4	1	4	1	0.3	0.3

Comb	Pos. SismaX	Pos. SismaY	Fx	Fy	Fz
5	1	4	0.3	1	0.3
6	1	4	0.3	0.3	1
7	3	2	1	0.3	0.3
8	3	2	0.3	1	0.3
9	3	2	0.3	0.3	1
10	3	4	1	0.3	0.3
11	3	4	0.3	1	0.3
12	3	4	0.3	0.3	1

Comb. = Numero di combinazione dei sismi

Pos. SismaX = Posizione in cui viene scelto il sisma in direzione X

Pos. SismaY = Posizione in cui viene scelto il sisma in direzione Y

Fx = Fattore con cui il sisma X partecipa

Fy = Fattore con cui il sisma Y partecipa

Fz = Fattore con cui il sisma Verticale partecipa (quando richiesto)

Ogni combinazione genera al massimo 8 sotto-combinazioni in base a tutte le combinazioni possibili dei segni di Fx ed Fy ed Fz

Si è considerato un numero di modi di vibrazione sufficiente ad eccitare almeno l'85% della massa sismica in ogni posizione delle masse, di seguito si riportano i risultati salienti dell'analisi modale sia per il calcolo allo Stato Limite Ultimo che per quello di Esercizio:
[begin_modi_vibrare]

AZIONI SULLA STRUTTURA

I calcoli e le verifiche sono condotti con il metodo semiprobabilistico degli stati limite secondo le indicazioni del **D.M. 17.01.2018**. I carichi agenti sui solai, derivanti dall'analisi dei carichi, vengono assegnati alle aste in modo automatico in relazione all'influenza delle diverse aree di carico. I carichi dovuti ai tamponamenti, sia sulle travi di fondazione che su quelle di piano, sono schematizzati come carichi lineari agenti esclusivamente sulle aste. In presenza di platee il tamponamento è inserito considerando delle speciali aste (aste a sezione nulla) che hanno la sola funzione di riportare il carico su di esse agente nei nodi degli elementi della platea ad esse collegati. Su tutti gli elementi strutturali è inoltre possibile applicare direttamente ulteriori azioni concentrate e/o distribuite. Le azioni introdotte direttamente sono combinate con le altre (carichi permanenti, accidentali e sisma) mediante le combinazioni di carico di seguito descritte; da esse si ottengono i valori probabilistici da impiegare successivamente nelle verifiche.

I solai, oltre a generare le condizioni di carico per carichi fissi e variabili, generano anche altre condizioni di carico che derivano dal carico accidentale moltiplicati per i coefficienti ψ_0 , ψ_1 e ψ_2 da utilizzare per le varie combinazioni di carico e per la determinazione delle masse sismiche.

Le azioni sono state assegnate su aste e piastre, definendo le seguenti condizioni di carico

Descrizione	Tipo
Peso Proprio	Automatica
QP Solai	Automatica
QFissi Solai	Automatica
QV Solai	Automatica
QV SolaiPsi0	Automatica
QV SolaiPsi1	Automatica
QV SolaiPsi2	Automatica
Tamponamenti(G2)	Utente
Neve DX	Utente
Vento X	Utente
Vento Y	Utente
Carichi termici	Utente
Neve SX	Utente

In fase di combinazione delle condizioni di carico si è agito su coefficienti moltiplicatori delle condizioni per definirne l'esatto contributo sia in termini di carico che di massa, e sono stati infine definiti gli scenari di calcolo come gruppi omogenei di combinazioni di carico. DI seguito vengono riportate le combinazioni di carico usate per lo Stato Limite Ultimo e per lo Stato Limite di Esercizio. Le verifiche sono riportate nel fascicolo dei calcoli.

Le tabelle riportano nell'ordine:

- il nome della combinazione di carico
- il tipo di analisi svolta: STR=Strutturale, Statica STR=Sismica statica Strutturale, Modale STR=Sismica modale strutturale, SLE Rara=Stato Limite Esercizio combinazione rara, SLE Freq=Stato Limite Esercizio combinazione frequente, SLE Q.Perm=Stato Limite Esercizio combinazione quasi Permanente, GEO=Geotecnica, Statica GEO=Sismica Statica Geotecnica, Modale GEO=Sismica modale Geotecnica, STR+GEO=Strutturale+Geotecnica, Statica STR+GEO=Sismica Statica Strutturale+Geotecnica, Modale STR+GEO=Sismica modale Strutturale+Geotecnica, Modale SLE= Combinazione sismica modale con spettro di progetto SLD, Statica SLE=Combinazione sismica statica con spettro di progetto SLD. I termini "**Strutturale**", "**Geotecnica**" e "**Strutturale+Geotecnica**" indicano che la combinazione è usata dal programma per la determinazione delle verifiche di resistenza degli elementi strutturali, delle sole verifiche geotecniche, sia per le verifiche strutturali che geotecniche.
- lo spettro usato, se sismica
- il fattore amplificativo del sisma
- l'angolo di ingresso del sisma, se trattasi di analisi sismica
- il nome della condizione di carico e per ogni condizione di carico
- il fattore di combinazione per i carichi verticali
- se la condizione (con il suo coefficiente di peso) è inclusa nella combinazione (colonna Attiva)
- se la condizione partecipa alla formazione della massa (colonna Massa)
- il fattore con cui partecipa alla formazione della massa (se non è esclusa dalla formazione della massa)

Scenario di calcolo

Scenario : Scenario SLU_SLE N.T. 2018

Combinazione	Tipo	Spettro	F.Sisma	α	K mod	Cond.Carico	Fatt. cv.	Attiva	Massa	Fattore m.
1) Solo Permanenti	STR				0.60					
						Peso Proprio	1.3	Si	Si	1
						QP Solai	1.3	Si	Si	1
						QFissi Solai	1.5	Si	Si	1
						QV Solai	1	No	No	1
						QV SolaiPsi0	1	No	No	1
						QV SolaiPsi1	1	No	No	1
						QV SolaiPsi2	1	No	Si	1
						Tamponamenti(G2)	1.5	Si	Si	1
						Neve DX	1	No	No	1
						Vento X	1	No	No	1
						Vento Y	1	No	No	1
						Carichi termici	1	No	No	1
						Neve SX	1	No	No	1
2) AD QV Solai Vento Y	STR+GEO				0.90					
						Peso Proprio	1.3	Si	Si	1
						QP Solai	1.3	Si	Si	1
						QFissi Solai	1.5	Si	Si	1
						QV Solai	1.5	Si	No	1
						QV SolaiPsi0	1	No	No	1
						QV SolaiPsi1	1	No	No	1
						QV SolaiPsi2	1	No	Si	1
						Tamponamenti(G2)	1.5	Si	Si	1

Combinazione	Tipo	Spettro	F.Sisma	α	K mod	Cond.Carico	Fatt. cv.	Attiva	Massa	Fattore m.
						Neve DX	0.75	Si	No	1
						Vento X	1	No	No	1
						Vento Y	0.9	Si	No	1
						Carichi termici	0.9	Si	No	1
						Neve SX	0.75	Si	No	1
3) AD QV Solai VentoX	STR+GEO				0.90					
						Peso Proprio	1.3	Si	Si	1
						QP Solai	1.3	Si	Si	1
						QFissi Solai	1.5	Si	Si	1
						QV Solai	1.5	Si	No	1
						QV SolaiPsi0	1	No	No	1
						QV SolaiPsi1	1	No	No	1
						QV SolaiPsi2	1	No	Si	1
						Tamponamenti(G2)	1.5	Si	Si	1
						Neve DX	0.75	Si	No	1
						Vento X	0.9	Si	No	1
						Vento Y	1	No	No	1
						Carichi termici	0.9	Si	No	1
						Neve SX	0.75	Si	No	1
4) AD NeveDxSx	STR+GEO				0.80					
						Peso Proprio	1.3	Si	Si	1
						QP Solai	1.3	Si	Si	1
						QFissi Solai	1.5	Si	Si	1
						QV Solai	1	No	No	1
						QV SolaiPsi0	1.5	Si	No	1
						QV SolaiPsi1	1	No	No	1
						QV SolaiPsi2	1	No	Si	1
						Tamponamenti(G2)	1.5	Si	Si	1
						Neve DX	1.5	Si	No	1
						Vento X	1	No	No	1
						Vento Y	1	No	No	1
						Carichi termici	0.9	Si	No	1
						Neve SX	1.5	Si	No	1
5) AD NeveDX	STR+GEO				0.80					
						Peso Proprio	1.3	Si	Si	1
						QP Solai	1.3	Si	Si	1
						QFissi Solai	1.5	Si	Si	1
						QV Solai	1	No	No	1
						QV SolaiPsi0	1.5	Si	No	1
						QV SolaiPsi1	1	No	No	1
						QV SolaiPsi2	1	No	Si	1
						Tamponamenti(G2)	1.5	Si	Si	1
						Neve DX	1.5	Si	No	1
						Vento X	1	No	No	1
						Vento Y	1	No	No	1
						Carichi termici	0.9	Si	No	1
						Neve SX	0.75	Si	No	1
6) AD NeveSX	STR+GEO				0.80					
						Peso Proprio	1.3	Si	Si	1
						QP Solai	1.3	Si	Si	1
						QFissi Solai	1.5	Si	Si	1
						QV Solai	1	No	No	1
						QV SolaiPsi0	1.5	Si	No	1
						QV SolaiPsi1	1	No	No	1
						QV SolaiPsi2	1	No	Si	1
						Tamponamenti(G2)	1.5	Si	Si	1
						Neve DX	0.75	Si	No	1
						Vento X	1	No	No	1
						Vento Y	1	No	No	1
						Carichi termici	0.9	Si	No	1

Combinazione	Tipo	Spettro	F.Sisma	α	K mod	Cond.Carico	Fatt. cv.	Attiva	Massa	Fattore m.
						Neve SX	1.5	Si	No	1
7) AD NeveDxSx VentoX	STR+GEO				0.80					
						Peso Proprio	1.3	Si	Si	1
						QP Solai	1.3	Si	Si	1
						QFissi Solai	1.5	Si	Si	1
						QV Solai	1	No	No	1
						QV SolaiPsi0	1.5	Si	No	1
						QV SolaiPsi1	1	No	No	1
						QV SolaiPsi2	1	No	Si	1
						Tamponamenti(G2)	1.5	Si	Si	1
						Neve DX	1.5	Si	No	1
						Vento X	0.9	Si	No	1
						Vento Y	1	No	No	1
						Carichi termici	0.9	Si	No	1
						Neve SX	1.5	Si	No	1
8) AD NeveDX VentoX	STR+GEO				0.80					
						Peso Proprio	1.3	Si	Si	1
						QP Solai	1.3	Si	Si	1
						QFissi Solai	1.5	Si	Si	1
						QV Solai	1	No	No	1
						QV SolaiPsi0	1.5	Si	No	1
						QV SolaiPsi1	1	No	No	1
						QV SolaiPsi2	1	No	Si	1
						Tamponamenti(G2)	1.5	Si	Si	1
						Neve DX	1.5	Si	No	1
						Vento X	0.9	Si	No	1
						Vento Y	1	No	No	1
						Carichi termici	0.9	Si	No	1
						Neve SX	0.75	Si	No	1
9) AD NeveSX VentoX	STR+GEO				0.80					
						Peso Proprio	1.3	Si	Si	1
						QP Solai	1.3	Si	Si	1
						QFissi Solai	1.5	Si	Si	1
						QV Solai	1	No	No	1
						QV SolaiPsi0	1.5	Si	No	1
						QV SolaiPsi1	1	No	No	1
						QV SolaiPsi2	1	No	Si	1
						Tamponamenti(G2)	1.5	Si	Si	1
						Neve DX	0.75	Si	No	1
						Vento X	0.9	Si	No	1
						Vento Y	1	No	No	1
						Carichi termici	0.9	Si	No	1
						Neve SX	1.5	Si	No	1
10) AD VentoX Vert. Sfav	STR+GEO				0.90					
						Peso Proprio	1.3	Si	Si	1
						QP Solai	1.3	Si	Si	1
						QFissi Solai	1.5	Si	Si	1
						QV Solai	1	No	No	1
						QV SolaiPsi0	1.5	Si	No	1
						QV SolaiPsi1	1	No	No	1
						QV SolaiPsi2	1	No	Si	1
						Tamponamenti(G2)	1.5	Si	Si	1
						Neve DX	1	No	No	1
						Vento X	1.5	Si	No	1
						Vento Y	1	No	No	1
						Carichi termici	0.9	Si	No	1
						Neve SX	1	No	No	1

Combinazione	Tipo	Spettro	F.Sisma	α	K mod	Cond.Carico	Fatt. cv.	Attiva	Massa	Fattore m.
11) AD VentoY Vert. Sfav	STR+GEO				0.90					
						Peso Proprio	1.3	Si	Si	1
						QP Solai	1.3	Si	Si	1
						QFissi Solai	1.5	Si	Si	1
						QV Solai	1	No	No	1
						QV SolaiPsi0	1.5	Si	No	1
						QV SolaiPsi1	1	No	No	1
						QV SolaiPsi2	1	No	Si	1
						Tamponamenti(G2)	1.5	Si	Si	1
						Neve DX	1	No	No	1
						Vento X	1	No	No	1
						Vento Y	1.5	Si	No	1
						Carichi termici	0.9	Si	No	1
						Neve SX	1	No	No	1
12) AD VentoX Vert. NeveDxSx	STR+GEO				0.90					
						Peso Proprio	1.3	Si	Si	1
						QP Solai	1.3	Si	Si	1
						QFissi Solai	1.5	Si	Si	1
						QV Solai	1	No	No	1
						QV SolaiPsi0	1.5	Si	No	1
						QV SolaiPsi1	1	No	No	1
						QV SolaiPsi2	1	No	Si	1
						Tamponamenti(G2)	1.5	Si	Si	1
						Neve DX	0.75	Si	No	1
						Vento X	1.5	Si	No	1
						Vento Y	1	No	No	1
						Carichi termici	0.9	Si	No	1
						Neve SX	0.75	Si	No	1
13) AD VentoX Vert. NeveDx	STR+GEO				0.90					
						Peso Proprio	1.3	Si	Si	1
						QP Solai	1.3	Si	Si	1
						QFissi Solai	1.5	Si	Si	1
						QV Solai	1	No	No	1
						QV SolaiPsi0	1.5	Si	No	1
						QV SolaiPsi1	1	No	No	1
						QV SolaiPsi2	1	No	Si	1
						Tamponamenti(G2)	1.5	Si	Si	1
						Neve DX	0.75	Si	No	1
						Vento X	1.5	Si	No	1
						Vento Y	1	No	No	1
						Carichi termici	0.9	Si	No	1
						Neve SX	0.38	Si	No	1
14) AD VentoX Vert. NeveSx	STR+GEO				0.90					
						Peso Proprio	1.3	Si	Si	1
						QP Solai	1.3	Si	Si	1
						QFissi Solai	1.5	Si	Si	1
						QV Solai	1	No	No	1
						QV SolaiPsi0	1.5	Si	No	1
						QV SolaiPsi1	1	No	No	1
						QV SolaiPsi2	1	No	Si	1
						Tamponamenti(G2)	1.5	Si	Si	1
						Neve DX	0.38	Si	No	1
						Vento X	1.5	Si	No	1
						Vento Y	1	No	No	1
						Carichi termici	0.9	Si	No	1
						Neve SX	0.75	Si	No	1

Combinazione	Tipo	Spettro	F.Sisma	α	K mod	Cond.Carico	Fatt. cv.	Attiva	Massa	Fattore m.
15) AD VentoY Vert. NeveDxSx	STR+GEO				0.90					
						Peso Proprio	1.3	Si	Si	1
						QP Solai	1.3	Si	Si	1
						QFissi Solai	1.5	Si	Si	1
						QV Solai	1	No	No	1
						QV SolaiPsi0	1.5	Si	No	1
						QV SolaiPsi1	1	No	No	1
						QV SolaiPsi2	1	No	Si	1
						Tamponamenti(G2)	1.5	Si	Si	1
						Neve DX	0.75	Si	No	1
						Vento X	1	No	No	1
						Vento Y	1.5	Si	No	1
						Carichi termici	0.9	Si	No	1
						Neve SX	0.75	Si	No	1
16) AD VentoY Vert. NeveDx	STR+GEO				0.90					
						Peso Proprio	1.3	Si	Si	1
						QP Solai	1.3	Si	Si	1
						QFissi Solai	1.5	Si	Si	1
						QV Solai	1	No	No	1
						QV SolaiPsi0	1.5	Si	No	1
						QV SolaiPsi1	1	No	No	1
						QV SolaiPsi2	1	No	Si	1
						Tamponamenti(G2)	1.5	Si	Si	1
						Neve DX	0.75	Si	No	1
						Vento X	1	No	No	1
						Vento Y	1.5	Si	No	1
						Carichi termici	0.9	Si	No	1
						Neve SX	0.38	Si	No	1
17) AD VentoY Vert. NeveSx	STR+GEO				0.90					
						Peso Proprio	1.3	Si	Si	1
						QP Solai	1.3	Si	Si	1
						QFissi Solai	1.5	Si	Si	1
						QV Solai	1	No	No	1
						QV SolaiPsi0	1.5	Si	No	1
						QV SolaiPsi1	1	No	No	1
						QV SolaiPsi2	1	No	Si	1
						Tamponamenti(G2)	1.5	Si	Si	1
						Neve DX	0.38	Si	No	1
						Vento X	1	No	No	1
						Vento Y	1.5	Si	No	1
						Carichi termici	0.9	Si	No	1
						Neve SX	0.75	Si	No	1
18) AD Termici VentoX	STR+GEO				-1.00					
						Peso Proprio	1.3	Si	Si	1
						QP Solai	1.3	Si	Si	1
						QFissi Solai	1.5	Si	Si	1
						QV Solai	1	No	No	1
						QV SolaiPsi0	1.5	Si	No	1
						QV SolaiPsi1	1	No	No	1
						QV SolaiPsi2	1	No	Si	1
						Tamponamenti(G2)	1.5	Si	Si	1
						Neve DX	0.75	Si	No	1
						Vento X	0.9	Si	No	1
						Vento Y	1	No	No	1
						Carichi termici	1.5	Si	No	1
						Neve SX	0.75	Si	No	1
19) AD Termici	STR+GEO				-1.00					

Combinazione	Tipo	Spettro	F.Sisma	α	K mod	Cond.Carico	Fatt. cv.	Attiva	Massa	Fattore m.
VentoY										
						Peso Proprio	1.3	Si	Si	1
						QP Solai	1.3	Si	Si	1
						QFissi Solai	1.5	Si	Si	1
						QV Solai	1	No	No	1
						QV SolaiPsi0	1.5	Si	No	1
						QV SolaiPsi1	1	No	No	1
						QV SolaiPsi2	1	No	Si	1
						Tamponamenti(G2)	1.5	Si	Si	1
						Neve DX	0.75	Si	No	1
						Vento X	1	No	No	1
						Vento Y	0.9	Si	No	1
						Carichi termici	1.5	Si	No	1
						Neve SX	0.75	Si	No	1
20) AD VentoX Vert fav	STR+GEO				0.90					
						Peso Proprio	1	Si	Si	1
						QP Solai	1	Si	Si	1
						QFissi Solai	1	No	Si	1
						QV Solai	1	No	No	1
						QV SolaiPsi0	1	No	No	1
						QV SolaiPsi1	1	No	No	1
						QV SolaiPsi2	1	No	Si	1
						Tamponamenti(G2)	1	No	Si	1
						Neve DX	1	No	No	1
						Vento X	1.5	Si	No	1
						Vento Y	1	No	No	1
						Carichi termici	1	No	No	1
						Neve SX	1	No	No	1
21) AD VentoY Vert fav	STR+GEO				0.90					
						Peso Proprio	1	Si	Si	1
						QP Solai	1	Si	Si	1
						QFissi Solai	1	No	Si	1
						QV Solai	1	No	No	1
						QV SolaiPsi0	1	No	No	1
						QV SolaiPsi1	1	No	No	1
						QV SolaiPsi2	1	No	Si	1
						Tamponamenti(G2)	1	No	Si	1
						Neve DX	1	No	No	1
						Vento X	1	No	No	1
						Vento Y	1.5	Si	No	1
						Carichi termici	1	No	No	1
						Neve SX	1	No	No	1
22) SISMAX1	Modale STR+GEO	Spettro N.T. 2018	1	0	1.00					
						Peso Proprio	1	Si	Si	1
						QP Solai	1	Si	Si	1
						QFissi Solai	1	Si	Si	1
						QV Solai	1	No	No	1
						QV SolaiPsi0	1	No	No	1
						QV SolaiPsi1	1	No	No	1
						QV SolaiPsi2	1	Si	Si	1
						Tamponamenti(G2)	1	Si	Si	1
						Neve DX	1	No	No	1
						Vento X	1	No	No	1
						Vento Y	1	No	No	1
						Carichi termici	1	No	No	1
						Neve SX	1	No	No	1
23) SISMAX1	Modale STR+GEO	Spettro N.T. 2018	1	90	1.00					

Combinazione	Tipo	Spettro	F.Sisma	α	K mod	Cond.Carico	Fatt. cv.	Attiva	Massa	Fattore m.
						Peso Proprio	1	Si	Si	1
						QP Solai	1	Si	Si	1
						QFissi Solai	1	Si	Si	1
						QV Solai	1	No	No	1
						QV SolaiPsi0	1	No	No	1
						QV SolaiPsi1	1	No	No	1
						QV SolaiPsi2	1	Si	Si	1
						Tamponamenti(G2)	1	Si	Si	1
						Neve DX	1	No	No	1
						Vento X	1	No	No	1
						Vento Y	1	No	No	1
						Carichi termici	1	No	No	1
						Neve SX	1	No	No	1
24) AD QV Solai	SLE Rara				1.00					
						Peso Proprio	1	Si	Si	1
						QP Solai	1	Si	Si	1
						QFissi Solai	1	Si	Si	1
						QV Solai	1	Si	No	1
						QV SolaiPsi0	1	No	No	1
						QV SolaiPsi1	1	No	No	1
						QV SolaiPsi2	1	No	Si	1
						Tamponamenti(G2)	1	Si	Si	1
						Neve DX	0.5	Si	No	1
						Vento X	1	No	No	1
						Vento Y	0.6	Si	No	1
						Carichi termici	0.6	Si	No	1
						Neve SX	0.5	Si	No	1
25) AD QV Solai	SLE Rara				1.00					
						Peso Proprio	1	Si	Si	1
						QP Solai	1	Si	Si	1
						QFissi Solai	1	Si	Si	1
						QV Solai	1	Si	No	1
						QV SolaiPsi0	1	No	No	1
						QV SolaiPsi1	1	No	No	1
						QV SolaiPsi2	1	No	Si	1
						Tamponamenti(G2)	1	Si	Si	1
						Neve DX	0.5	Si	No	1
						Vento X	0.6	Si	No	1
						Vento Y	1	No	No	1
						Carichi termici	0.6	Si	No	1
						Neve SX	0.5	Si	No	1
26) AD Neve DxSx	SLE Rara				1.00					
						Peso Proprio	1	Si	Si	1
						QP Solai	1	Si	Si	1
						QFissi Solai	1	Si	Si	1
						QV Solai	1	No	No	1
						QV SolaiPsi0	1	Si	No	1
						QV SolaiPsi1	1	No	No	1
						QV SolaiPsi2	1	No	Si	1
						Tamponamenti(G2)	1	Si	Si	1
						Neve DX	1	Si	No	1
						Vento X	0.6	Si	No	1
						Vento Y	1	No	No	1
						Carichi termici	0.6	Si	No	1
						Neve SX	1	Si	No	1
27) AD Neve Dx	SLE Rara				1.00					
						Peso Proprio	1	Si	Si	1
						QP Solai	1	Si	Si	1
						QFissi Solai	1	Si	Si	1
						QV Solai	1	No	No	1
						QV SolaiPsi0	1	Si	No	1

Combinazione	Tipo	Spettro	F.Sisma	α	K mod	Cond.Carico	Fatt. cv.	Attiva	Massa	Fattore m.
						QV SolaiPsi1	1	No	No	1
						QV SolaiPsi2	1	No	Si	1
						Tamponamenti(G2)	1	Si	Si	1
						Neve DX	1	Si	No	1
						Vento X	0.6	Si	No	1
						Vento Y	1	No	No	1
						Carichi termici	0.6	Si	No	1
						Neve SX	0.5	Si	No	1
28) AD Neve Sx	SLE Rara				1.00					
						Peso Proprio	1	Si	Si	1
						QP Solai	1	Si	Si	1
						QFissi Solai	1	Si	Si	1
						QV Solai	1	No	No	1
						QV SolaiPsi0	1	Si	No	1
						QV SolaiPsi1	1	No	No	1
						QV SolaiPsi2	1	No	Si	1
						Tamponamenti(G2)	1	Si	Si	1
						Neve DX	0.5	Si	No	1
						Vento X	0.6	Si	No	1
						Vento Y	1	No	No	1
						Carichi termici	0.6	Si	No	1
						Neve SX	1	Si	No	1
29) AD VentoX Neve DxSx	SLE Rara				1.00					
						Peso Proprio	1	Si	Si	1
						QP Solai	1	Si	Si	1
						QFissi Solai	1	Si	Si	1
						QV Solai	1	No	No	1
						QV SolaiPsi0	1	Si	No	1
						QV SolaiPsi1	1	No	No	1
						QV SolaiPsi2	1	No	Si	1
						Tamponamenti(G2)	1	Si	Si	1
						Neve DX	0.5	Si	No	1
						Vento X	1	Si	No	1
						Vento Y	1	No	No	1
						Carichi termici	0.6	Si	No	1
						Neve SX	0.5	Si	No	1
30) AD vento Y Neve DxSx	SLE Rara				1.00					
						Peso Proprio	1	Si	Si	1
						QP Solai	1	Si	Si	1
						QFissi Solai	1	Si	Si	1
						QV Solai	1	No	No	1
						QV SolaiPsi0	1	Si	No	1
						QV SolaiPsi1	1	No	No	1
						QV SolaiPsi2	1	No	Si	1
						Tamponamenti(G2)	1	Si	Si	1
						Neve DX	0.5	Si	No	1
						Vento X	1	No	No	1
						Vento Y	1	Si	No	1
						Carichi termici	0.6	Si	No	1
						Neve SX	0.5	Si	No	1
31) AD Termici	SLE Rara				1.00					
						Peso Proprio	1	Si	Si	1
						QP Solai	1	Si	Si	1
						QFissi Solai	1	Si	Si	1
						QV Solai	1	No	No	1
						QV SolaiPsi0	1	Si	No	1
						QV SolaiPsi1	1	No	No	1
						QV SolaiPsi2	1	No	Si	1
						Tamponamenti(G2)	1	Si	Si	1

Combinazione	Tipo	Spettro	F.Sisma	α	K mod	Cond.Carico	Fatt. cv.	Attiva	Massa	Fattore m.
						Neve DX	0.5	Si	No	1
						Vento X	0.6	Si	No	1
						Vento Y	1	No	No	1
						Carichi termici	1	Si	No	1
						Neve SX	0.5	Si	No	1
32) AD Termici	SLE Rara				1.00					
						Peso Proprio	1	Si	Si	1
						QP Solai	1	Si	Si	1
						QFissi Solai	1	Si	Si	1
						QV Solai	1	No	No	1
						QV SolaiPsi0	1	Si	No	1
						QV SolaiPsi1	1	No	No	1
						QV SolaiPsi2	1	No	Si	1
						Tamponamenti(G2)	1	Si	Si	1
						Neve DX	0.5	Si	No	1
						Vento X	1	No	No	1
						Vento Y	0.6	Si	No	1
						Carichi termici	1	Si	No	1
						Neve SX	0.5	Si	No	1
33) AD QV Solai	SLE Freq.				1.00					
						Peso Proprio	1	Si	Si	1
						QP Solai	1	Si	Si	1
						QFissi Solai	1	Si	Si	1
						QV Solai	1	No	No	1
						QV SolaiPsi0	1	No	No	1
						QV SolaiPsi1	1	Si	No	1
						QV SolaiPsi2	1	No	Si	1
						Tamponamenti(G2)	1	Si	Si	1
						Neve DX	1	No	No	1
						Vento X	1	No	No	1
						Vento Y	1	No	No	1
						Carichi termici	1	No	No	1
						Neve SX	1	No	No	1
34) AD Neve DxSx	SLE Freq.				1.00					
						Peso Proprio	1	Si	Si	1
						QP Solai	1	Si	Si	1
						QFissi Solai	1	Si	Si	1
						QV Solai	1	No	No	1
						QV SolaiPsi0	1	No	No	1
						QV SolaiPsi1	1	No	No	1
						QV SolaiPsi2	1	Si	Si	1
						Tamponamenti(G2)	1	Si	Si	1
						Neve DX	0.2	Si	No	1
						Vento X	1	No	No	1
						Vento Y	1	No	No	1
						Carichi termici	1	No	No	1
						Neve SX	0.2	Si	No	1
35) AD VentoX	SLE Freq.				1.00					
						Peso Proprio	1	Si	Si	1
						QP Solai	1	Si	Si	1
						QFissi Solai	1	Si	Si	1
						QV Solai	1	No	No	1
						QV SolaiPsi0	1	No	No	1
						QV SolaiPsi1	1	No	No	1
						QV SolaiPsi2	1	Si	Si	1
						Tamponamenti(G2)	1	Si	Si	1
						Neve DX	1	No	No	1
						Vento X	0.2	Si	No	1
						Vento Y	1	No	No	1
						Carichi termici	1	No	No	1
						Neve SX	1	No	No	1

Combinazione	Tipo	Spettro	F.Sisma	α	K mod	Cond.Carico	Fatt. cv.	Attiva	Massa	Fattore m.
36) AD Vento Y	SLE Freq.				1.00					
						Peso Proprio	1	Si	Si	1
						QP Solai	1	Si	Si	1
						QFissi Solai	1	Si	Si	1
						QV Solai	1	No	No	1
						QV SolaiPsi0	1	No	No	1
						QV SolaiPsi1	1	No	No	1
						QV SolaiPsi2	1	Si	Si	1
						Tamponamenti(G2)	1	Si	Si	1
						Neve DX	1	No	No	1
						Vento X	1	No	No	1
						Vento Y	0.2	Si	No	1
						Carichi termici	1	No	No	1
						Neve SX	1	No	No	1
37) AD Termici	SLE Freq.				1.00					
						Peso Proprio	1	Si	Si	1
						QP Solai	1	Si	Si	1
						QFissi Solai	1	Si	Si	1
						QV Solai	1	No	No	1
						QV SolaiPsi0	1	No	No	1
						QV SolaiPsi1	1	No	No	1
						QV SolaiPsi2	1	Si	Si	1
						Tamponamenti(G2)	1	Si	Si	1
						Neve DX	1	No	No	1
						Vento X	1	No	No	1
						Vento Y	1	No	No	1
						Carichi termici	0.2	Si	No	1
						Neve SX	1	No	No	1
38) Quasi P1	SLE Q.Perm.				1.00					
						Peso Proprio	1	Si	Si	1
						QP Solai	1	Si	Si	1
						QFissi Solai	1	Si	Si	1
						QV Solai	1	No	No	1
						QV SolaiPsi0	1	No	No	1
						QV SolaiPsi1	1	No	No	1
						QV SolaiPsi2	1	Si	Si	1
						Tamponamenti(G2)	1	Si	Si	1
						Neve DX	1	No	No	1
						Vento X	1	No	No	1
						Vento Y	1	No	No	1
						Carichi termici	1	No	No	1
						Neve SX	1	No	No	1
39) SISMAX1	Modale SLE	Spettro N.T. 2018	1	0	1.00					
						Peso Proprio	1	Si	Si	1
						QP Solai	1	Si	Si	1
						QFissi Solai	1	Si	Si	1
						QV Solai	1	No	No	1
						QV SolaiPsi0	1	No	No	1
						QV SolaiPsi1	1	No	No	1
						QV SolaiPsi2	1	Si	Si	1
						Tamponamenti(G2)	1	Si	Si	1
						Neve DX	1	No	No	1
						Vento X	1	No	No	1
						Vento Y	1	No	No	1
						Carichi termici	1	No	No	1
						Neve SX	1	No	No	1
40) SISMAX1	Modale SLE	Spettro N.T. 2018	1	90	1.00					

Combinazione	Tipo	Spettro	F.Sisma	α	K mod	Cond.Carico	Fatt. cv.	Attiva	Massa	Fattore m.
						Peso Proprio	1	Si	Si	1
						QP Solai	1	Si	Si	1
						QFissi Solai	1	Si	Si	1
						QV Solai	1	No	No	1
						QV SolaiPsi0	1	No	No	1
						QV SolaiPsi1	1	No	No	1
						QV SolaiPsi2	1	Si	Si	1
						Tamponamenti(G2)	1	Si	Si	1
						Neve DX	1	No	No	1
						Vento X	1	No	No	1
						Vento Y	1	No	No	1
						Carichi termici	1	No	No	1
						Neve SX	1	No	No	1

CODICE DI CALCOLO IMPIEGATO

Autori:	dott. ing. Dario PICA prof. ing. Paolo BISEGNA dott. ing. Donato Sista
Produzione e distribuzione	SOFT.LAB srl via Borgo II - 82030 PONTE (BN) tel. ++39 (824) 874392 fax ++39 (824) 874431 internet: http://www.soft.lab.it e.mail: info@soft.lab.it
Sigla:	IperSpaceBIM 1.0.4
Licenza n.	

Il modello di calcolo assunto è di tipo spaziale e l'analisi condotta è una Analisi Elastica Lineare, esso è fondamentalmente definito dalla posizione dei nodi collegati da elementi di tipo Beam o elementi di tipo shell a comportamento sia flessionale che membranale, l'elemento finito shell utilizzato è anche in grado di esprimere una rigidezza rotazionale in direzione ortogonale al piano dello shell.

L'analisi sismica utilizzata è l'analisi modale con Combinazione Quadratica Completa degli effetti del sisma. Il modello è stato analizzato sia per le combinazioni dei carichi verticali sia per le combinazioni di carico verticale e sisma. Un particolare chiarimento richiede la definizione delle masse nell'analisi sismica. Pur avendo considerato il modello con impalcati rigidi non si rende necessario calcolare il modello con la metodologia del MASTER-SLAVE, in quanto gli impalcati rigidi sono stati modellati con elementi di tipo shell a comportamento membranale in corrispondenza dei campi di solaio. Per ottenere tale modellazione il programma inserisce in automatico elementi di tipo shell a comportamento membranale in corrispondenza del campo di solaio intercluso tra una maglia di travi, la loro rigidezza membranale è sufficientemente alta da rendere il campo di solaio rigido nel proprio piano, ma tale da non mal condizionare la matrice di rigidezza della struttura. Qualora una maglia di travi non è collegata da solaio lo shell non viene inserito rendendo tale campo libero di deformarsi con il solo vincolo dato dalle travi della. La loro rigidezza flessionale è trascurabile rispetto a quella degli elementi che contornano il campo, per cui lo shell impone un vincolo orizzontale solo nel piano dell'impalcato tra i nodi collegati, quindi non è necessario definire preventivamente definire il centro di massa e momento d'inerzia delle masse, questo perché le masse sono trasferite direttamente nei nodi del modello (modello Lumped Mass) dal codice di calcolo, il metodo per calcolare le masse nei nodi può essere quello per aree di influenza, ma questa richiederebbe l'intervento diretto dell'operatore; il codice di calcolo utilizza una metodologia leggermente più raffinata per tener conto del fatto che su un elemento il carico portato non è uniforme, quindi il codice di calcolo considera i carichi presenti sull'asta che sono stati indicati come quelli che contribuiscono alla formazione della massa (tipicamente $G + \psi_2 \cdot Q$) e calcola le reazioni di

incastro perfetto verticali, tali reazioni divise per l'accelerazione di gravità g danno il contributo dell'elemento alla massa del nodo, sommando i contributi di tutti gli elementi che convergono nel nodo si ottiene la massa complessiva nel nodo; per gli elementi shell invece si utilizza il metodo delle aree di influenza ossia in ognuno dei 3 oppure 4 nodi che definiscono lo shell si assegna $\frac{1}{3}$ oppure $\frac{1}{4}$ del peso dello shell e $\frac{1}{3}$ oppure $\frac{1}{4}$ dell'eventuale carico variabile ridotto, sommando su tutti gli shell che convergono nel nodo si ottiene la massa da assegnare al nodo.

VERIFICA DEGLI ELEMENTI STRUTTURALI

La verifica di resistenza degli elementi è condotta considerando le sollecitazioni di calcolo ed imponendo che le resistenze siano superiori alle azioni. Gli elementi sono verificati e/o progettati applicando la gerarchia delle resistenze in particolare la gerarchia flessione-taglio per la verifica/progetto dell'elemento e la gerarchia pilastro-trave per la determinazione delle resistenze del pilastro. Le verifiche sono condotte secondo i seguenti criteri di verifica validi sia per lo SLU che per lo SLD, i criteri di verifica sono una raccolta di parametri che vengono usati in fase di verifica secondo le esigenze strutturali, ognuno di essi contiene i dati per tutti gli elementi, è sottinteso che nella verifica di un elemento (es. trave) non sono presi in considerazione i dati relativi agli altri elementi (ad es. se si verifica una trave non sono presi in considerazione i dati relativi a pilastri e shell, così come se si esegue una verifica agli SLU non sono presi in considerazione i dati relativi agli SLE). Ognuno di essi è identificato da un nome a scelta dell'operatore, per cui nei tabulati di verifica il nome del criterio ne identifica i parametri usati. Riguardo alle verifiche agli SLU le resistenze sono determinate in base a quanto specificato dalla norma attraverso il modello plastico-incrudente o elastico-perfettamente plastico, la verifica consiste nel verificare che assegnate le sollecitazioni di verifica le deformazioni massime nel calcestruzzo e nell'acciaio siano inferiori a quelle ultime cioè equivale ad affermare che nello spazio tridimensionale N, M_y, M_z il punto rappresentativo delle sollecitazioni è interno al dominio di resistenza della sezione.

Le verifiche agli SLE riguardano le verifiche di:

- deformabilità degli impalcati con $\delta \leq 0.0050 \cdot h$
- fessurazione
- tensioni in esercizio

Criteri di verifica

Criterio di verifica: CLS Pilastri		
Generici		
Resistenza caratteristica R_{ck}	kg/cmq	400
Tensione caratteristica snervamento acciaio f_{yk}	kg/cmq	4500
Deformazione unitaria ϵ_{c0}		0.002
Deformazione ultima ϵ_{cu}		0.0035
ϵ_{fu} (solo incrudimento)		0.01
Modulo elastico E acciaio	kg/cmq	2E06
Copriferro di calcolo	cm	3.0
Copriferro di disegno	cm	2.0
Coefficiente di sicurezza γ_{Cl}		1.5
Coefficiente di sicurezza γ_{Acc}		1.15
Riduzione f_{cd} calcestruzzo		0.85
Usa staffe minime di normativa in assenza di sisma		Si
Usa staffe minime di normativa in presenza di sisma		Si
Generici N.T.		
Inclinazione bielle compresse $\cotg(\theta)$		1.00
Modello acciaio		Elasto-plastico
Elemento esistente		No
Sforzo normale ammissibile v_{max} (CDA)		0.550
Sforzo normale ammissibile v_{max} (CDB)		0.650
Generici D.M. 96 T.A.		
Tensione ammissibile σ_c	kg/cmq	97.5
Tensione ammissibile σ_c in trazione	kg/cmq	21.8
Tensione ammissibile σ_c acciaio	kg/cmq	2600.0
Tensione tangenziale ammissibile τ_{c0}	kg/cmq	6.0
Tensione tangenziale massima τ_{c1}	kg/cmq	18.3

Coefficiente di omogeneizzazione n		15
Coefficiente di omogeneizzazione n in trazione		0.5
Sezione interamente reagente		No
Fessurazioni		
Verifica a decompressione		No
Verifica formazione fessure		No
Verifica aperture fessure		Si
Classe di esposizione		X0
Tipo armatura		Poco sensibile
Combinazione Rara		No
Combinazione QP		Si
W ammissibile Combinazione QP	mm	0.300
Combinazione Freq.		Si
W ammissibile Combinazione Freq.	mm	0.400
Valore caratteristico apertura fessure wk(*wm)		1
fc efficace	kg/cmq	25.99
Coefficiente di breve o lunga durata kt		0.40
Coefficiente di aderenza kl		0.80
Tensioni ammissibili di esercizio		
Verifica Combinazione Rara		Si
Tensione ammissibile σ_{Cl} s	kg/cmq	149
Tensione ammissibile $\sigma_{Acciaio}$	kg/cmq	3600
Verifica Combinazione QP		Si
Tensione ammissibile σ_{Cl} s	kg/cmq	112
Tensione ammissibile $\sigma_{Acciaio}$	kg/cmq	3600
Verifica Combinazione Freq.		No
Coefficienti di omogeneizzazione		
Acciaio - Cls compresso		15
Cls teso - Cls compresso		0.5
Armatura pilastri		
Massimo numero di ferri in ogni spigolo		1
Diametro ferri di spigolo	mm	16
Diametro ferri laterali	mm	16
Diametro staffe	mm	8
Numero braccia staffe lato lungo		4
Minima percentuale armatura rispetto al Cls	%	1.00
Massima percentuale armatura rispetto al Cls	%	4.00
Verifica pilastri		
Verifica a carico di punta		No
Verifica a pressoflessione deviata		Si
Verifica come pareti		No
Verifica Duttilita' N.T. 2018		
Verifica di duttilita'		NO
Fattore confinamento minimo		1.000
Calcolo Fattore confinamento		NO
Verifica N.T. pilastri		
Verifica pilastri tozzi		SI
Gerarchia Flessione-Taglio		NO
Verifica a taglio pilastri		
Coefficiente di amplificazione γ_{Rd}		1.2
Sforzo normale ammissibile v_{max}		0.8
Effetto spinotto		Si
Effetto della pressoflessione		Si
Traslazione momento		No
Considera la resistenza a taglio VRDns		NO
Verifica a taglio N.T. pilastri		
γ_{Rd} (CDA) Pressoflessione		1.3
γ_{Rd} (CDB) Pressoflessione		1.3
γ_{Rd} (CDA) Taglio		1.3
γ_{Rd} (CDB) Taglio		1.1
Verifica Nodi secondo EC8		SI
Stampa pilastri		
Informazioni sollecitazioni di verifica		No
Verifica per tutte le combinazioni di carico		No
Fattori di amplificazione		No

Gerarchia delle resistenze pilastri		
Direzione Y		Si
Direzione Z		Si

Criterio di verifica: CLS TraviAlte		
Generici		
Resistenza caratteristica R_{ck}	kg/cm ²	400
Tensione caratteristica snervamento acciaio f_{yk}	kg/cm ²	4500
Deformazione unitaria ϵ_{c0}		0.002
Deformazione ultima ϵ_{cu}		0.0035
ϵ_{fu} (solo incrudimento)		0.01
Modulo elastico E acciaio	kg/cm ²	2E06
Copriferro di calcolo	cm	3.0
Copriferro di disegno	cm	2.0
Coefficiente di sicurezza γ_{Cl}		1.5
Coefficiente di sicurezza γ_{Acc}		1.15
Riduzione f_{cd} calcestruzzo		0.85
Usa staffe minime di normativa in assenza di sisma		Si
Usa staffe minime di normativa in presenza di sisma		Si
Generici N.T.		
Inclinazione bielle compresse $\cotg(\theta)$		1.00
Modello acciaio		Elasto-plastico
Elemento esistente		No
Generici D.M. 96 T.A.		
Tensione ammissibile σ_c	kg/cm ²	97.5
Tensione ammissibile σ_c in trazione	kg/cm ²	21.8
Tensione ammissibile σ_c acciaio	kg/cm ²	2600.0
Tensione tangenziale ammissibile τ_{c0}	kg/cm ²	6.0
Tensione tangenziale massima τ_{c1}	kg/cm ²	18.3
Coefficiente di omogeneizzazione n		15
Coefficiente di omogeneizzazione n in trazione		0.5
Sezione interamente reagente		No
Fessurazioni		
Verifica a decompressione		No
Verifica formazione fessure		No
Verifica aperture fessure		Si
Classe di esposizione		X0
Tipo armatura		Poco sensibile
Combinazione Rara		No
Combinazione QP		Si
W ammissibile Combinazione QP	mm	0.300
Combinazione Freq.		Si
W ammissibile Combinazione Freq.	mm	0.400
Valore caratteristico apertura fessure $w_k(*w_m)$		1
f_c efficace	kg/cm ²	25.99
Coefficiente di breve o lunga durata k_t		0.40
Coefficiente di aderenza k_l		0.80
Tensioni ammissibili di esercizio		
Verifica Combinazione Rara		Si
Tensione ammissibile σ_{Cl}	kg/cm ²	149
Tensione ammissibile $\sigma_{Acciaio}$	kg/cm ²	3600
Verifica Combinazione QP		Si
Tensione ammissibile σ_{Cl}	kg/cm ²	112
Tensione ammissibile $\sigma_{Acciaio}$	kg/cm ²	3600
Verifica Combinazione Freq.		No
Coefficienti di omogeneizzazione		
Acciaio - Cls compresso		15
Cls teso - Cls compresso		0.5
Armatura travi		
Numero di bracci delle staffe		2
Numero minimo di ferri superiori		2
Numero minimo di ferri inferiori		2
Numero minimo di ferri di parete		1
Numero reggistaffe superiori		0

Numero reggistaffe intermedi		0
Numero reggistaffe inferiori		0
Diametro ferri superiori	mm	16
Diametro ferri inferiori	mm	16
Diametro staffe	mm	8
Percentuale armatura rispetto alla base per verifica a taglio	%	100.00
Minima percentuale armatura compressa rispetto alla tesa	%	50.00
Minima percentuale armatura rispetto al Cls	%	0.31
Massima percentuale armatura rispetto al Cls	%	1.55
Calcolo travi		
Traslazione momento		Si
Verifica travi		
Verifica a torsione		No
Verifica a pressoflessione retta		No
Trave a spessore		No
Verifica N.T. travi		
Trave tozza		Si
Gerarchia Flessione-Taglio		Si
Escludi dalla gerarchia trave-pilastro		No
Verifica a taglio travi		
Coefficiente di sovraresistenza γ_{Rd}		1.2
Includi effetto spinotto nel taglio		Si
Includi effetto della pressoflessione nel taglio		Si
Verifica a taglio N.T. travi		
Coefficiente di sovraresistenza γ_{Rd} (CDA)		1.2
Coefficiente di sovraresistenza γ_{Rd} (CDB)		1.1
Verifica Duttilita' N.T. 2018		
Verifica di duttilita'		NO
Fattore confinamento minimo		1.000
Calcolo Fattore confinamento		NO
Verifica a taglio D.M. 96 T.A. travi		
Percentuale taglio alle staffe	%	60
Percentuale taglio ferri parete	%	40
Considera la resistenza a taglio VRDns		NO
Stampa travi		
Stampa informazioni relative all'asse neutro		Si

<u>Criterio di verifica: CLS TraviFondazione</u>		
Generici		
Resistenza caratteristica R_{ck}	kg/cm ²	300
Tensione caratteristica snervamento acciaio f_{yk}	kg/cm ²	4500
Deformazione unitaria ϵ_{c0}		0.002
Deformazione ultima ϵ_{cu}		0.0035
ϵ_{fu} (solo incrudimento)		0.00214
Modulo elastico E acciaio	kg/cm ²	2E06
Copriferro di calcolo	cm	2.5
Copriferro di disegno	cm	4.0
Coefficiente di sicurezza γ_{Cl} s		1.5
Coefficiente di sicurezza γ_{Acc}		1.15
Riduzione f_{cd} calcestruzzo		0.85
Usa staffe minime di normativa in assenza di sisma		Si
Usa staffe minime di normativa in presenza di sisma		Si
Generici N.T.		
Inclinazione bielle compresse $\cotg(\theta)$		1.00
Modello acciaio		Incrudente
Incrudimento E_y/E_0		0.000
Elemento esistente		No
Generici D.M. 96 T.A.		
Tensione ammissibile σ_c	kg/cm ²	97.5
Tensione ammissibile σ_c in trazione	kg/cm ²	21.8
Tensione ammissibile σ_c acciaio	kg/cm ²	2600.0
Tensione tangenziale ammissibile τ_{c0}	kg/cm ²	6.0
Tensione tangenziale massima τ_{c1}	kg/cm ²	18.3

Coefficiente di omogeneizzazione n		15
Coefficiente di omogeneizzazione n in trazione		0.5
Sezione interamente reagente		No
Fessurazioni		
Verifica a decompressione		No
Verifica formazione fessure		No
Verifica aperture fessure		Si
Classe di esposizione		XC2
Tipo armatura		Poco sensibile
Combinazione Rara		No
Combinazione QP		Si
W ammissibile Combinazione QP	mm	0.300
Combinazione Freq.		Si
W ammissibile Combinazione Freq.	mm	0.400
Valore caratteristico apertura fessure wk(*wm)		1
fc efficace	kg/cmq	25.99
Coefficiente di breve o lunga durata kt		0.40
Coefficiente di aderenza kl		0.80
Tensioni ammissibili di esercizio		
Verifica Combinazione Rara		Si
Tensione ammissibile σ_{Cl} s	kg/cmq	149
Tensione ammissibile $\sigma_{Acciaio}$	kg/cmq	3600
Verifica Combinazione QP		Si
Tensione ammissibile σ_{Cl} s	kg/cmq	112
Tensione ammissibile $\sigma_{Acciaio}$	kg/cmq	3600
Verifica Combinazione Freq.		No
Coefficienti di omogeneizzazione		
Acciaio - Cls compresso		15
Cls teso - Cls compresso		0.5
Armatura travi		
Numero di bracci delle staffe		2
Numero minimo di ferri superiori		2
Numero minimo di ferri inferiori		2
Numero minimo di ferri di parete		1
Numero reggistaffe superiori		0
Numero reggistaffe intermedi		0
Numero reggistaffe inferiori		0
Diametro ferri superiori	mm	16
Diametro ferri inferiori	mm	16
Diametro staffe	mm	8
Percentuale armatura rispetto alla base per verifica a taglio	%	100.00
Minima percentuale armatura compressa rispetto alla tesa	%	50.00
Minima percentuale armatura rispetto al Cls	%	0.20
Massima percentuale armatura rispetto al Cls	%	1.55
Calcolo travi		
Traslazione momento		Si
Verifica travi		
Verifica a torsione		No
Verifica a pressoflessione retta		No
Trave a spessore		No
Verifica N.T. travi		
Trave tozza		No
Gerarchia Flessione-Taglio		Si
Escludi dalla gerarchia trave-pilastro		No
Verifica a taglio travi		
Coefficiente di sovraresistenza γ_{Rd}		1.2
Includi effetto spinotto nel taglio		Si
Includi effetto della pressoflessione nel taglio		Si
Verifica a taglio N.T. travi		
Coefficiente di sovraresistenza γ_{Rd} (CDA)		1.2
Coefficiente di sovraresistenza γ_{Rd} (CDB)		1.1
Verifica Duttilita' N.T. 2018		
Verifica di duttilita'		NO
Fattore confinamento minimo		1.000
Calcolo Fattore confinamento		NO

Verifica a taglio D.M. 96 T.A. travi		
Percentuale taglio alle staffe	%	60
Percentuale taglio ferri parete	%	40
Considera la resistenza a taglio VRDns		NO
Stampa travi		
Stampa informazioni relative all'asse neutro		Si

Criterio di verifica: CLS TraviSpessore		
Generici		
Resistenza caratteristica Rck	kg/cmq	300
Tensione caratteristica snervamento acciaio fyk	kg/cmq	4500
Deformazione unitaria ϵ_{c0}		0.002
Deformazione ultima ϵ_{cu}		0.0035
ϵ_{fu} (solo incrudimento)		0.01
Modulo elastico E acciaio	kg/cmq	2E06
Copriferro di calcolo	cm	4.0
Copriferro di disegno	cm	2.0
Coefficiente di sicurezza γ_{Cl}		1.6
Coefficiente di sicurezza γ_{Acc}		1.15
Riduzione fcd calcestruzzo		0.85
Usa staffe minime di normativa in assenza di sisma		Si
Usa staffe minime di normativa in presenza di sisma		Si
Generici N.T.		
Inclinazione bielle compresse $\cotg(\theta)$		1.00
Modello acciaio		Elasto-plastico
Elemento esistente		No
Generici D.M. 96 T.A.		
Tensione ammissibile σ_c	kg/cmq	97.5
Tensione ammissibile σ_c in trazione	kg/cmq	21.8
Tensione ammissibile σ_c acciaio	kg/cmq	2600.0
Tensione tangenziale ammissibile τ_{c0}	kg/cmq	6.0
Tensione tangenziale massima τ_{c1}	kg/cmq	18.3
Coefficiente di omogeneizzazione n		15
Coefficiente di omogeneizzazione n in trazione		0.5
Sezione interamente reagente		No
Fessurazioni		
Verifica a decompressione		No
Verifica formazione fessure		No
Verifica aperture fessure		Si
Classe di esposizione		X0
Tipo armatura		Poco sensibile
Combinazione Rara		No
Combinazione QP		Si
W ammissibile Combinazione QP	mm	0.300
Combinazione Freq.		Si
W ammissibile Combinazione Freq.	mm	0.400
Valore caratteristico apertura fessure $w_k(*w_m)$		1
fc efficace	kg/cmq	25.99
Coefficiente di breve o lunga durata kt		0.40
Coefficiente di aderenza k1		0.80
Tensioni ammissibili di esercizio		
Verifica Combinazione Rara		Si
Tensione ammissibile σ_{Cl}	kg/cmq	149
Tensione ammissibile $\sigma_{Acciaio}$	kg/cmq	3600
Verifica Combinazione QP		Si
Tensione ammissibile σ_{Cl}	kg/cmq	112
Tensione ammissibile $\sigma_{Acciaio}$	kg/cmq	3600
Verifica Combinazione Freq.		No
Coefficienti di omogeneizzazione		
Acciaio - Cls compresso		15
Cls teso - Cls compresso		0.5
Armatura travi		
Numero di bracci delle staffe		4
Numero minimo di ferri superiori		2

Numero minimo di ferri inferiori		2
Numero minimo di ferri di parete		0
Numero reggistaffe superiori		2
Numero reggistaffe intermedi		0
Numero reggistaffe inferiori		2
Diametro ferri superiori	mm	16
Diametro ferri inferiori	mm	16
Diametro staffe	mm	8
Percentuale armatura rispetto alla base per verifica a taglio	%	100.00
Minima percentuale armatura compressa rispetto alla tesa	%	100.00
Minima percentuale armatura rispetto al Cls	%	0.31
Massima percentuale armatura rispetto al Cls	%	1.55
Calcolo travi		
Traslazione momento		Si
Verifica travi		
Verifica a torsione		No
Verifica a pressoflessione retta		No
Trave a spessore		Si
Verifica N.T. travi		
Trave tozza		No
Gerarchia Flessione-Taglio		Si
Escludi dalla gerarchia trave-pilastro		No
Verifica a taglio travi		
Coefficiente di sovraresistenza γ_{Rd}		1.2
Includi effetto spinotto nel taglio		Si
Includi effetto della pressoflessione nel taglio		Si
Verifica a taglio N.T. travi		
Coefficiente di sovraresistenza γ_{Rd} (CDA)		1.2
Coefficiente di sovraresistenza γ_{Rd} (CDB)		1.1
Verifica Duttita' N.T. 2018		
Verifica di duttilita'		NO
Fattore confinamento minimo		1.000
Calcolo Fattore confinamento		NO
Verifica a taglio D.M. 96 T.A. travi		
Percentuale taglio alle staffe	%	1e+02
Percentuale taglio ferri parete	%	0
Considera la resistenza a taglio VRDns		NO
Stampa travi		
Stampa informazioni relative all'asse neutro		Si

Risultati Analisi Dinamica - Statistiche matrice di rigidezza

Scenario di calcolo : **Scenario SLU_SLE N.T. 2018**

Minimo della diag.	1.190236e+07
Massimo della diag.	1.629843e+13
Rapporto Max/Min	1.369344e+06
Media della diag.	1.386636e+12
Densita'	1.562322e+01

Pertanto i risultati si ritengono accettabili per quanto riguarda la correttezza del calcolo automatico.

Il Progettista